

GOVERNO DO ESTADO



**GOVERNO DO ESTADO DO CEARÁ**  
**SECRETARIA DOS RECURSOS HÍDRICOS**  
COMPANHIA DE GESTÃO DOS RECURSOS HÍDRICOS COGERH  
PROJETO DE DESENVOLVIMENTO URBANO E GESTÃO DOS RECURSOS HÍDRICOS  
PROURB CE

**PROJETO EXECUTIVO DA  
ADUTORA DE PINDORETAMA**

**TOMO 1 RELATÓRIO GERAL**

**VOLUME 1 TEXTO**

**KL** Serviços e Engenharia Ltda

**FORTALEZA**  
**SETEMBRO DE 1997**

GOVERNO DO ESTADO



**CEARÁ**

AVANÇANDO NAS MUDANÇAS

**GOVERNO DO ESTADO DO CEARÁ  
SECRETARIA DOS RECURSOS HÍDRICOS  
COMPANHIA DE GESTÃO DOS RECURSOS HÍDRICOS - COGERH  
PROJETO DE DESENVOLVIMENTO URBANO E GESTÃO DOS RECURSOS HÍDRICOS  
PROURB/CE**

**PROJETO EXECUTIVO  
DA ADUTORADA DE PINDORETAMA**

**TOMO 1 - RELATÓRIO GERAL**

**VOLUME 1 - TEXTO**

Lote 02260 - Prep  Scan  Index

Projeto N° 02.09101/01/B

Volume

/

Qtd A4

Qtd A3

Qtd A2

Qtd A1

Qtd A0

Outros



KL - SERVIÇOS E ENGENHARIA LTDA

AV. SENADOR VIRGÍLIO TAVORA, 1.701 SALAS 108, 109  
FONE 361.8766/261.7732 FAX 361.4766  
CEP 06.022.544/0001-67 CEP 06.845.884-3  
FORTALEZA - CEARÁ  
EMAIL: KLEND@FORTALNET.COM.BR

FORTALEZA  
SETEMBRO / 97

GOVERNO DO ESTADO



**CEARÁ**

AVANÇANDO NAS MUDANÇAS

**GOVERNO DO ESTADO DO CEARÁ  
SECRETARIA DOS RECURSOS HÍDRICOS  
COMPANHIA DE GESTÃO DOS RECURSOS HÍDRICOS - COGERH  
PROJETO DE DESENVOLVIMENTO URBANO E GESTÃO DOS RECURSOS HÍDRICOS  
PROURB/CE**

**PROJETO EXECUTIVO  
DA ADUTORADA PINDORETAMA**

**TOMO 1 - RELATÓRIO GERAL**

**VOLUME 1 - TEXTO**

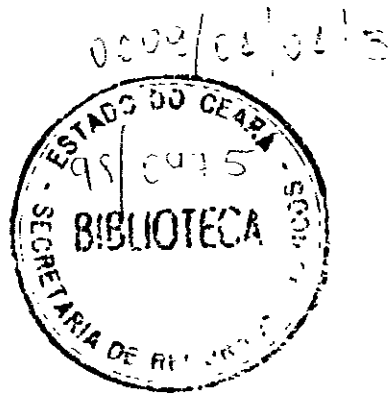


KL - SERVIÇOS E ENGENHARIA LTDA

AV. MENDONÇA VIEIRAS TAVIRA 1.701 SALAS 106, 118  
C.E.P. 60.151-000 FONE 085 322-1334 FAX 085 327-00-  
61 FAX 085 322-6449 DDD 085 1397-1443 1397-1443  
FORTALEZA - CEARÁ  
EMAIL: KLEINE@FORTALINET.COM.BR

FORTALEZA  
SETEMBRO / 97

Gaudêus

**ÍNDICE**

## ÍNDICE

|   |           |
|---|-----------|
| <b>1 - APRESENTAÇÃO</b>                                       | <b>7</b>  |
| <b>2 - SISTEMA DE ABASTECIMENTO DE ÁGUA EXISTENTE</b>         | <b>9</b>  |
| <b>2 1 - DESCRIÇÃO DO SISTEMA EXISTENTE</b>                   | <b>9</b>  |
| <b>2 2 - SISTEMA PROPOSTO</b>                                 | <b>9</b>  |
| <b>3 - TRAÇADO DA ADUTORA PROPOSTA</b>                        | <b>12</b> |
| <b>4 - ESTUDOS DO MANANCIAL</b>                               | <b>14</b> |
| <b>4 1 - MANANCIAL</b>  | <b>14</b> |
| <b>4 2 - CARACTERÍSTICA TÉCNICAS DA BARRAGEM MALCOZINHADO</b> | <b>14</b> |
| <b>4 3 - ESTUDOS HIDROLÓGICOS</b>                             | <b>15</b> |
| <b>5 - ESTAÇÃO ELEVATÓRIA</b>                                 | <b>18</b> |
| <b>5 1 - DESCRIÇÃO DA ESTAÇÃO</b>                             | <b>18</b> |
| <b>6 - SISTEMA ADUTOR</b>                                     | <b>22</b> |
| <b>6 1 - DESCRIÇÃO DO SISTEMA ADUTOR</b>                      | <b>22</b> |
| <b>6 2 - EQUIPAMENTOS AUXILIARES DO SISTEMA ADUTOR.</b>       | <b>22</b> |
| <b>6.2.1 - Ventosas .....</b>                                 | <b>22</b> |
| <b>6.2.2 - Descarga de Fundo .....</b>                        | <b>23</b> |
| <b>6 3 - OBRAS CIVIS .....</b>                                | <b>23</b> |
| <b>6.3.1- Assentamento de tubulação .....</b>                 | <b>23</b> |

|   |           |
|---|-----------|
| 6 3 1 1 - Assentamento enterrado                              | . 23      |
| 6 3 1.3 - Caixas de proteção                                  | . . . 24  |
| 6 3 1 4 Blocos de ancoragem                                   | . . . 24  |
| 6 3 1 5 - Travessia da adutora em talvegues ..                | . . . 25  |
| <b>7 - SISTEMA DE TRATAMENTO DE ÁGUA</b>                      | <b>27</b> |
| 7 1 - SISTEMA DE FILTRAGEM                                    | 27        |
| 7 2 - RESERVATÓRIO  | 27        |
| 7 3 - CASA DE QUÍMICA   | 28        |
| <b>8 - SISTEMA DE PROTEÇÃO ANTI-TRANSIENTE</b>                | <b>30</b> |
| <b>9 - PROJETO ELÉTRICO</b>                                   | <b>32</b> |
| 9 1 - FINALIDADE  | 32        |
| 9 2 - CONCEPÇÃO GERAL   | 32        |
| 9 3 - CARGA INSTALADA   | 32        |
| <b>9.3.1 - Corrente Nominal do Motor de 125CV, 380V .....</b> | <b>32</b> |
| <b>9.3.2 - Potência Aparente da Subestação .....</b>          | <b>33</b> |
| 9 4 - DEMANDA DA SUBESTAÇÃO                                   | 33        |
| 9 5 - NÍVEIS DE CURTO CIRCUITO                                | 33        |
| 9 6 - FILOSOFIA DE PROTEÇÃO DA SUBESTAÇÃO .. . . .            | 34        |
| <b>9.6.1 - Proteção de Alta Tensão (13.800v) .....</b>        | <b>34</b> |
| <b>9.6.2 - Proteção de Baixa Tensão (380V).....</b>           | <b>34</b> |
| <b>9.6.3 - Proteção dos Motores .....</b>                     | <b>34</b> |

|   |           |
|---|-----------|
| <b>9.6.4 - Proteção de Sobretensão.....</b>                               | <b>35</b> |
| <b>9 7 - DIMENSIONAMENTO DOS CONDUTORES</b>                               | <b>35</b> |
| <b>9.7.1 - Condutores de Alta Tensão .....</b>                            | <b>35</b> |
| <b>9.7.2 - Condutores de Baixa Tensão (380/220V) .....</b>                | <b>35</b> |
| <b>9 8 - DIMENSIONAMENTO DO BANCO DE CAPACITORES</b>                      | <b>36</b> |
| <b>9.8.1 - Motor de 125cv .....</b>                                       | <b>36</b> |
| <b>9 9 - CÁLCULO DO ATERRAMENTO</b>                                       | <b>36</b> |
| <b>9.9.1 - Fórmula da Resistência da Malha de Terra (condutores).....</b> | <b>36</b> |
| <b>9.9.2 - Fórmula da Resistência das Hastes do Aterramento .....</b>     | <b>37</b> |
| <b>9.9.3 - Fórmula da Resistência Mútua entre Malha e Haste.....</b>      | <b>37</b> |
| <b>9.9.4 - Fórmula da Resistência Total .....</b>                         | <b>37</b> |
| <b>9.9.5 - Cálculo da Resistência da Malha de Terra (condutores).....</b> | <b>39</b> |
| <b>9.9.6. Cálculo da Resistência das Hastes do Aterramento.....</b>       | <b>39</b> |
| <b>9.9.7 - Cálculo da Resistência Mútua entre Malha e Haste.....</b>      | <b>39</b> |
| <b>9.9.8 - Cálculo da Resistência Total .....</b>                         | <b>39</b> |
| <b>9 10 RELAÇÃO DE MATERIAIS E EQUIPAMENTOS DA SUBESTAÇÃO (500KVA)</b>    | <b>40</b> |
| <b>10 - ANEXOS</b>  | <b>41</b> |

## 1 - APRESENTAÇÃO

## 1 - APRESENTAÇÃO

O objetivo do presente relatório o detalhamento executivo do sistema de abastecimento de água da cidade de Pindoretama a partir da futura barragem Malcozinhado.

O sistema contempla também o abastecimento da Industria Ypioca distante 2 400 m da cidade de Pindoretama

No presente estudo serão detalhados a nível executivo as alternativas de captação, adução e bombeamento e tratamento de água preconizadas no estudo de concepção.

## 2 - SISTEMA DE ABASTECIMENTO DE ÁGUA EXISTENTE

## 2 - SISTEMA DE ABASTECIMENTO DE ÁGUA EXISTENTE

### 2.1 - DESCRIÇÃO DO SISTEMA EXISTENTE

O sistema de abastecimento de Pindoretama atualmente é feito por intermédio de poços individuais. A água é farta e não recebe nenhuma forma de tratamento.

Devido a qualidade da água não ser satisfatória, a Fundação Nacional de Saúde optou por construir um sistema de abastecimento com água captada da Lagoa Tapuio, de ótima qualidade. O sistema é administrado pelo SAAE - Sistema Autônomo de Água e Esgoto.

O sistema já está implantado e entrará em operação em outubro de 1997 e consta de:

- Captação flutuante na Lagoa Tapuio
- Adutora de ferro fundido enterrada com 7 km de extensão diâmetro 150 mm
- Filtros ascendentes construídos em alvenaria e concreto
- Reservatório apoiado com 250 m<sup>3</sup>
- Estação elevatória de água tratada e saia de química
- Reservatório elevado com 200 m<sup>3</sup> e altura 10 m
- 800 ligações domiciliares

A Industria Ypioca é atualmente abastecida por uma captação flutuante na Lagoa Encantada

### 2.2 - SISTEMA PROPOSTO

O sistema proposto para o abastecimento de Pindoretama, substitui a captação na Lagoa Tapuio pela captação na futura barragem Malcozinhado, que será construída no Rio Malcozinhado, a aproximadamente 9 km da cidade. Pela mesma adutora que

conduzirá água para a cidade, será aduzida a água para o suprimento da Industria Ypioca.

O objetivo deste novo sistema é eliminar as captação e nas lagoas Tapuio e Encantada que certamente trarão problemas ambientais futuros

Propõem-se ainda o aproveitamento integral dos reservatórios, filtros e estações elevatórias de água tratada existente, sendo bastante a ampliação das unidades para atendimento de um horizonte de 20 anos

### **3 - TRAÇADO DA ADUTORA PROPOSTA**

### **3 - TRAÇADO DA ADUTORA PROPOSTA**

A adutora sai da ombreira esquerda da barragem Malcozinhado e segue paralela ao rio Malcozinhado até a CE 253. Daí segue paralela a rodovia até a cidade de Pindoretama. Da cidade, a adutora segue até a indústria Ypioca por estradas locais

O levantamento topográfico detalhado do caminhamento da adutora bem como o cadastro completo da faixa de domínio foi feito em campo e apresentado no Relatório de Estudos Básicos

#### 4 - ESTUDOS DO MANANCIAL

## 4 - ESTUDOS DO MANANCIAL

### 4.1 - MANANCIAL

O rio Malcozinhado será regularizado pela barragem de mesmo nome a ser construída a 6 km a montante.

A bacia do riacho Malcozinhado, na qual será implementado o reservatório, drena uma área de 240 Km<sup>2</sup>, estando contida entre as coordenadas 4°00' e 4°15' de latitude sul e 38°05' e 38°30' de longitude oeste. A principal via de acesso à região é a rodovia CE-040 que faz a ligação entre Fortaleza e o litoral leste do estado.

### 4.2 - CARACTERÍSTICA TÉCNICAS DA BARRAGEM MALCOZINHADO

|                             |  |
|-----------------------------|--|
| TIPO BARRAGEM               | Terra Homogênea com trecho zoneado a jusante |
| COTA SOLEIRA                | 24,00 m                                      |
| TIPO VERTEDOURO             | CREAGER                                      |
| LARGURA VERTEDOURO          | 60,00 m                                      |
| LÂMINA MÁXIMA:              | 1,80 m                                       |
| ACUMULAÇÃO DO RESERVATÓRIO: | 34.637 171,6 m <sup>3</sup>                  |
| VAZÃO REGULARIZADA          | 0,420 m <sup>3</sup> /s                      |
| COTA DE COROAMENTO:         | 27,11 m                                      |
| NÍVEL MÍNIMO OPERACIONAL    | 17,30 M                                      |
| COTA DA TOMADA D'ÁGUA       | 16,50 M                                      |

#### 4.3 - ESTUDOS HIDROLÓGICOS

Os serviços hidrológicos realizados constam de estudos dos deflúvios do rio Malcozinhado, definição da cheia de projeto para o dimensionamento do sangradouro e estudo da capacidade de regularização do reservatório

A estimativa dos deflúvios na bacia do rio Malcozinhado, foi baseada no modelo de transformação chuva em deflúvio MODHAC

O estudo da capacidade de regularização do Açude Malcozinhado foi realizado por dois métodos

- Solução direta da equação do balanço hídrico,
- Diagrama triangular de regularização

Os resultados obtidos pelos dois métodos foram próximos e coerentes.

Os principais resultados destes estudos hidrológicos encontram-se summarizados abaixo:

**QUADRO 4.1 - RESULTADOS DO ESTUDO HIDROLÓGICO**

| <b>Climatologia</b>                        |          |
|--|----------|
| Pluviometria Média Anual (sobre a bacia)   | 1222 mm  |
| Evaporação Média Anual                     | 1468 mm  |
| Evapotranspiração Potencial (Hargreaves)   | 1563 mm  |
| Insolação Média Anual                      | 2694,3 h |
| Umidade Relativa Média Anual               | 78,3 %   |
| Temperatura Média Anual: Média das Máximas | 29,9 °C  |
| Temperatura Média Anual: Média das Médias  | 26,6 °C  |
| Temperatura Média Anual. Média das Mínimas | 23,5 °C  |
| Classificação Climática                    | C1SA'a'  |

**Regime hidrológico médio da bacia e capacidade de regularização do reservatório:**

|  |                         |
|--|-------------------------|
| Área da Bacia Hidrográfica.                    | 240,0 km <sup>2</sup>   |
| Coeficiente de Escoamento.                     | 17,0%                   |
| Volume afluente médio anual                    | 49,200 hm <sup>3</sup>  |
| Lâmina Escoada Média:                          | 205 mm                  |
| Coeficiente de Variação dos deflúvios          | 1,0                     |
| Capacidade total do reservatório               | 37,367 hm <sup>3</sup>  |
| Volume regulançável anual com 90% de garantia: | 0,426 m <sup>3</sup> /s |

**Dimensionamento do sangradouro:**

|   |                          |
|---|--------------------------|
| Tipo de sangradouro                                     | Perfil Creager           |
| Largura do sangradouro                                  | 60,00 m                  |
| Cota do sangradouro.                                    | 24,00 m                  |
| Vazão de pico afluente (Tr=1000anos)                    | 505,0 m <sup>3</sup> /s  |
| Vazão de pico amortecida (Tr=1000 anos)                 | 314,8 m <sup>3</sup> /s  |
| Altura da lâmina vertente (Tr=1000 anos):               | 1,8 m                    |
| Vazão de pico afluente de verificação (Tr=10000 anos)   | 1007,0 m <sup>3</sup> /s |
| Vazão de pico amortecida de verificação (Tr=10000 anos) | 676,22 m <sup>3</sup> /s |
| Altura da lâmina vertente de verificação (Tr=10000anos) | 2,99 m                   |

## 5 - ESTAÇÃO ELEVATÓRIA

## 5 - ESTAÇÃO ELEVATÓRIA

### 5.1 - DESCRIÇÃO DA ESTAÇÃO

A estação elevatória para Pindoretama se constituirá de três bombas funcionando em paralelo com uma de reserva. A modulação (3+1 de reserva) foi escolhida devido ao fato do sistema atender a Indústria da Ypioca em Pindoretama. Duas das bombas atenderão a Ypioca que consumirá 400 m<sup>3</sup>/h (111 l/s) a terceira bomba será para o abastecimento da cidade

Optou-se por instalar todas as bombas imediatamente, bombeando a vazão total desde o início até o final de plano (20 anos). Não se justifica a instalação da adutora para a vazão de 20 anos, que representa seguramente 90% do custo do sistema, e a instalação das bombas para um período menor, pois a prática tem mostrado que a futura aquisição e substituição dos grupos motobomba nunca ocorre a contento

Não haverá desperdício de energia nos primeiros anos, pois o tempo de bombeamento será mínimo no início de plano, e crescente ano a ano de forma que o volume aduzido será sempre compatível com a demanda da cidade.

O QUADRO 5.1 e 5.2 mostram os dados básicos da estação elevatória

O QUADRO 5.3 apresenta os dados das bombas escolhida

O ANEXO A apresenta a curva da bomba selecionada.

| <b>QUADRO 5.1</b>   |             |       |                        |                  |                         |
|---|-------------|-------|------------------------|------------------|-------------------------|
| <b>TUBULAÇÃO DE LIGAÇÃO ENTRE A TOMADA D'ÁGUA E AS BOMBAS</b> |             |       |                        |                  |                         |
| DIÂMETRO INTERNO  | VAZÃO (l/s) | L (m) | RUGOSIDADE DO TUBO (m) | VELOCIDADE (m/s) | PERDA NO TRECHO (m.c.a) |
| 500   | 154,27      | 80,00 | 0,0002                 | 0,79             | 1,17                    |

**QUADRO 5.2 - DADOS BÁSICOS DA CAPTAÇÃO**

|  |       |
|--|-------|
| DISTÂNCIA DA TOMADA D'ÁGUA À ELEVATÓRIA                      | 80    |
| COTA DO EIXO DA TOMADA D'ÁGUA                                | 16,70 |
| COTA DO EIXO DAS BOMBAS                                      | 15,33 |
| COTA DO PISO DA ESTAÇÃO                                      | 14,73 |
| NÍVEL MÍN D'ÁGUA NA BARRAGEM (GARANTIA DE 90%)               | 17,30 |
| CARGA HIDRÁULICA MÍNIMA NA SUCÇÃO                            | 1,30  |
| DIÂMETRO DO TUBO DE LIGAÇÃO DA TOMADA D'ÁGUA ÀS BOMBAS       | 500   |
| PERDA DE CARGA NO TUBO DE LIGAÇÃO DA TOMADA D'ÁGUA ÀS BOMBAS | 1,17  |

**QUADRO 5.3 - DADOS BÁSICOS DA ESTAÇÃO ELEVATÓRIA**

|                           |                       |
|---------------------------|-----------------------|
| VAZÃO TOTAL (l/s)         | 154,27                |
| VAZÃO POR BOMBA (l/s)     | 51,42                 |
| ALTURA MANOMÉTRICA (m)    | 110,70                |
| MODELO                    | WORTHINGTON 125 NM 1c |
| NÚMERO DE ESTÁGIOS        | 4                     |
| Nº DE CONJUNTOS MOTOBOMBA | 3 (+1 de reserva)     |
| RENDIMENTO (%)            | 70                    |
| NPSH (m)                  | 2,5                   |
| POTÊNCIA DOS MOTORES (CV) | 125                   |
| ROTAÇÃO (rpm)             | 1.775                 |

A casa de bombas deverá ter espaço suficiente para acomodar as bombas e quadros de comando dos motores e será dotada de um ambiente para escritório.

O acesso à casa de bombas será feito por caminhos de serviço que serão abertos na ocasião das construção da barragem Malcozinhado

## **6 - SISTEMA ADUTOR**

## 6 - SISTEMA ADUTOR

### 6.1 - DESCRIÇÃO DO SISTEMA ADUTOR

O sistema adutor para abastecimento de água de Pindoretama é composto de dois trechos. O primeiro trecho vai da estação elevatória até a ETA de Pindoretama. Neste trecho a vazão aduzida é a da cidade e a da Indústria Ypioca. Neste ponto haverá uma derivação para a ETA e a adutora segue até a indústria com a vazão reduzida.

### 6.2 - EQUIPAMENTOS AUXILIARES DO SISTEMA ADUTOR

#### 6.2.1 - Ventosas

Ao longo da rede foram utilizadas ventosas para permitir a admissão e expulsão de ar durante a operação normal e durante os períodos de enchimento e esvaziamento da rede.

Estes equipamentos impedem a formação de bolsões de ar na tubulação que causariam redução de seção de escoamento com consequente redução de vazão.

Utilizou-se apenas ventosas de tríplice função pelo fato destes aparelhos minimizarem os efeitos de eventuais transientes ao longo da rede provocados pela abertura e fechamento de válvulas.

O posicionamento das ventosas ao longo da rede, baseou-se nos seguintes critérios

- Pontos altos da rede.
- Longos trechos horizontais. Neste caso a cada 300 m

Conhecida a vazão da linha, e adotando-se um valor para o diferencial de pressão entre o interior da ventosa e a atmosfera no momento do enchimento ou esvaziamento da canalização (geralmente adota-se 3,5 m.c.a), obtém-se um ponto que dará o tamanho da ventosa utilizada

Para simplificar o dimensionamento, foram feitas várias simulações de vazões em diversos diâmetros e chegou-se ao seguinte quadro:

| DIÂMETRO DA LINHA | DIÂMETRO DA VENTOSA |
|-------------------|---------------------|
| (mm)              | (mm)                |
| 75 - 250          | 50                  |
| 300 - 450         | 75                  |

Os detalhes executivos de instalação das ventosas estão no Desenho PD-PE-HD-017-R0

### 6.2.2 - Descarga de Fundo

Nos locais mais baixos da rede foram previstos pontos de drenagem destinados a esgotar a água dos tubos por ocasião de reparos e limpeza.

O diâmetro das descargas de fundo foi considerado um diâmetro comercial acima da ventosa

Os detalhes executivos das descargas de fundo estão no Desenho PD-PE-HD-017-R0

## 6.3 - OBRAS CIVIS

### 6.3.1- Assentamento de tubulação

#### 6.3 1.1 - Assentamento enterrado

As tubulações serão enterradas a uma profundidade mínima de 0,8 m acima da geratriz superior do tubo. A esta profundidade, pode haver tráfego de veículos sem afetar o tubo.

O material de reaterro da vala deverá estar isento de pedregulhos e deverá ser compactado a 90% do Proctor Normal.

O assentamento da adutora em valas só será realizado em material de 1º. Admite-se 2º categorias a partir de 30 cm acima da geratriz superior do tubo.

O detalhe tipo da vala para assentamento da tubulação está no Desenho PD-PE-HD-018-RD

#### 6.3.1.3 - Caixas de proteção

Os dispositivos que serão dotados de caixas de proteção serão:

- Ventosas.
- Descargas de fundo.

As caixas serão em alvenaria de tijolo e terão função apenas de proteger os dispositivos

Para a drenagem das caixas foi previsto um colchão de brita de 20 cm no fundo da caixa que não será dotada de laje de fundo. A tampa será em malha de aço para garantir a ventilação e a inspeção visual dos equipamentos.

O detalhamento das caixas de proteção de descarga e ventosa poderá ser visto nos Desenhos PD-PE-HD-017-R0

#### 6.3.1.4. Blocos de ancoragem

São estruturas em concreto ciclópico ou armado com a função de absorver os impactos causados pelas variações de fluxo na rede. Se localizam na seguintes peças:

- Tês de derivação.
- Reduções.
- Curvas

Os detalhes tipo do bloco de ancoragem se encontram no Desenho PD-PE-HD-018-R0.

### 6.3 1.5 - Travessia da adutora em talvegues

Na travessia de talvegues, a adutora deverá ser ancorada e envelopada com concreto para evitar o arranque por flutuação causada pela empuxo da água quando a mesma está vazia

O detalhe da ancoragem e envelopamento se encontra no Desenho PD-PE-HD-018-R0

## 7 - SISTEMA DE TRATAMENTO DE ÁGUA

## 7 - SISTEMA DE TRATAMENTO DE ÁGUA

### 7.1 - SISTEMA DE FILTRAGEM

O sistema de filtragem proposto para a ampliação da ETA existente, compõem-se de filtros ascendentes modulares pré-fabricados em fibra de vidro que combina as funções de clarificação e filtração numa única unidade.

Os filtros possuem na parte inferior uma camada de pedregulho especialmente graduada, sobre a qual encontra-se disposta uma camada de areia com granulometria apropriada.

A água coagulada no mecanismo de neutralização de cargas entra na parte inferior do filtro, numa câmara central, de onde através de difusores é distribuída uniformemente na camada de pedregulho, onde ocorrem fundamentalmente, as operações floculação por contato e sedimentação

Para a ampliação do sistema é necessário um filtro com vazão  $110 \text{ m}^3/\text{h}$  que será interligado ao filtro existente cuja capacidade é de  $40 \text{ m}^3/\text{h}$ . A retrolavagem dos filtros será feita pelo reservatório elevado.

### 7.2 - RESERVATÓRIO

O reservatório elevado não será ampliado. A reserva necessária ao sistema será complementada com a construção de outro reservatório apoiado de forma que o volume total armazenado seja de 1/5 do consumo diário para final de plano (20 anos).

Desta forma temos:

Vazão de final de plano =  $41,21 \text{ l/s}$

Volume de armazenamento necessário (1/5 do abastecimento diário):  $750 \text{ m}^3$

Reservatório elevado existente:  $200 \text{ m}^3$

Reservatório apoiado existente:  $250\text{m}^3$

Volume necessário do reservatório apoiado a ser construído: 300 m<sup>3</sup>

Os detalhes arquitetônicos e hidráulicos do sistema de filtragem se encontram nos Desenhos PD-PE-HD-015-R0 e PD-PE-HD-016-R0

### 7.3 - CASA DE QUÍMICA

Para a casa de química de Pindoretama será aproveitada a obra civil existente no sítio da ETA.

## **8 - SISTEMA DE PROTEÇÃO ANTI-TRANSIENTE**

## 8 - SISTEMA DE PROTEÇÃO ANTI-TRANSIENTE

O estudo de transientes indicou a necessidade de construção de um Tanque de Alimentação Unidirecional (TAU) na estaca 57 da adutora de Pindoretama.

Os detalhes arquitetônicos e a hidráulica do TAU se encontram no Desenho PD-PE-HD-014-R0

O cálculo estrutural se encontra nos Desenhos PD-PE-HD-004-R0 e PD-PE-ES-005-R0.

## **9 - PROJETO ELÉTRICO**

## 9 - PROJETO ELÉTRICO

### 9.1 - FINALIDADE

Este documento tem como objetivo apresentar à CONCESSIONÁRIA para análise o projeto de uma subestação abaixadora de 13 800-380/220V, com uma potência instalada de 500KVA, com 2(dois) transformadores de 225KVA, operando em paralelo, que se destina ao suprimento de energia elétrica de uma ESTAÇÃO DE BOMBEAMENTO em PINDORETAMA

### 9.2 - CONCEPÇÃO GERAL

A subestação em questão será do tipo abrigada com entrada mista, montada ao nível do solo, em estrutura de alvenaria, devidamente isolada por cerca de arame farpado, e constituída das seguintes unidades:

- a – unidade de entrada e medição de faturamento;
- b - unidade de seccionamento e disjunção com proteção de sobrecorrente;
- c – duas unidades de transformação de 225 KVA

### 9.3 - CARGA INSTALADA

A carga instalada da subestação será de 4(quatro) motores de 125CV com tensão nominal de 380V, 60HZ, todos partindo de forma compensada com 80% de sua tensão nominal. A carga real será de 3(três) motores de 125 CV tendo em vista que 1(hum) será instalado como reserva, e mais a dos serviços auxiliares que é estimada em 10KVA.

A seguir é demonstrado os cálculos da potência aparente da subestação levando em consideração as características estimadas do motor de 90% de rendimento e 85%(IND) de fator de potência, e 10KVA para os serviços auxiliares.

#### 9.3.1 - Corrente Nominal do Motor de 125CV, 380V

$$In = \frac{CV \times 736}{\sqrt{3} \times V \times \eta \times FP} [A]$$

Onde:

$CV$  = potência do motor

$V$  = tensão nominal do motor

$\eta$  = rendimento do motor

$FP$  = fator de potência do motor com compensação de reativo

$$I_n = \frac{125 \times 736}{\sqrt{3} \times 380 \times 0,9 \times 0,85} = 182,72[A]$$

$$\sqrt{3} \times 380 \times 0,9 \times 0,85$$

### 9.3.2 - Potência Aparente da Subestação

$$S = \frac{380\sqrt{3} (3 \times 182,72)}{1000} + 10 = 370,79 [KVA]$$

Logo, considerando os padrões de potência da ABNT e evitando a operação da subestação próximo de sua capacidade nominal, a mesma terá uma potência instalada de 500KVA( dois transformadores de 225KVA em paralelo).

### 9.4 - DEMANDA DA SUBESTAÇÃO

A estação de bombeamento deverá operar nas 24(vinte e quatro) horas com uma carga variável em função da vazão exigida, tendo uma previsão de uma demanda máxima de aproximadamente 290Kw.

Quando a natureza da carga, a mesma é praticamente constituída de motores de indução, com partida compensada em 80% da tensão nominal (380V).

### 9.5 - NÍVEIS DE CURTO CIRCUITO

Todos os materiais e equipamentos pertencentes à Alta Tensão (13.800V) serão dimensionados para um nível de curto circuito simétrico de 10 KA. Quanto a Baixa Tensão (380V) os materiais e equipamentos ligados aos transformadores de 225KVA serão dimensionados para 20KA, bem como os ligados aos barramentos do QUADRO GERAL DE BAIXA TENSÃO (QGBT) e ao QUADRO DE COMANDO E SERVIÇOS AUXILIARES (QCSA).

## 9.6 - FILOSOFIA DE PROTEÇÃO DA SUBESTAÇÃO

### 9.6.1 - Proteção de Alta Tensão (13.800v)

O projeto da subestação prevê proteção de sobrecorrente através de CHAVE FUSÍVEL com capacidade de 10KA completa de elo fusível de 25K para os cabos isolados (15 KV) do RAMAL DE ENTRADA, muflas e equipamentos de medição da faturamento da concessionária. Para o barramento de Alta Tensão (13.800V) e transformadores de força, a proteção é feita através de relés de sobrecorrente regulado em 32A os quais atuarão de forma direta no disjuntor de Alta Tensão (13.800V).

### 9.6.2 - Proteção de Baixa Tensão (380V)

A baixa tensão ligada aos transformadores de 225KVA será protegida por disjuntor termomagnético, 750V, 400A de corrente nominal, com capacidade de interrupção simétrica de 20KA

Pelo DIAGRAMA UNIFILAR pode ser observado que o Projeto contempla 2(dois) disjuntores de baixa tensão (380V) por transformador em série. Um instalado no Quadro Geral de Baixa Tensão (QGBT) o qual se localiza no prédio da subestação e outro instalado na entrada do Quadro de Comando e Serviços Auxiliares (QCSA), dando assim proteção individualizada para os cabos de alimentação de 750V e ao Quadro de Comando e Serviços Auxiliares (QCSA).

### 9.6.3 - Proteção dos Motores

Os motores serão comandados por chaves compensadoras as quais deverão possuir proteção contra curto circuito através de fusíveis tipo NH devidamente dimensionados, proteção contra sobrecarga, falta de fase, sub e sobretensão.

Para maior segurança, todas as chaves seccionadas dos circuitos dos motores serão do tipo Abertura com Carga e os circuitos dos Serviços Auxiliares serão protegidos com disjuntores termomagnéticos com capacidade de interrupção compatíveis com o item 6.2 deste documento

#### 9.6.4 - Proteção de Sobretensão

A subestação estará protegida contra sobretensão de origem atmosférica (onda plena e onda cortada), sobretensão de manobra e à frequência industrial (60Hz) através de pára-raios localizados na estrutura de entrada da subestação no ponto de encontro do cabo nu e o cabo isolado, e outro conjunto na unidade de entrada e medição de faturamento, no encontro de cabo isolado e o barramento. Todos os pára-raios são do tipo DISTRIBUIÇÃO, com tensão nominal de 12 KV e fabricados com resistor não linear de óxido de zinco.

### 9.7 - DIMENSIONAMENTO DOS CONDUTORES

#### 9.7.1 - Condutores de Alta Tensão

O barramento de alta tensão será dimensionado para a potência da subestação (500 KVA), o mesmo será de vergalhão de cobre eletrolítico de 25 mm<sup>2</sup>, 5,6 mm de diâmetro. Para os cabos isolados de 15KV será mantida a mesma área do condutor do barramento, no caso 25mm<sup>2</sup>.

#### 9.7.2 - Condutores de Baixa Tensão (380/220V)

Os condutores ligados aos tratos de 225KVA foram dimensionados para uma capacidade de 402A por transformador. Na saída dos transformadores, cada fase terá 3(três) cabos de cobre isolados EPR, 750V, 185mm<sup>2</sup> de área, os quais farão a interligação do transformador ao Quadro Geral de Baixa Tensão (QGBT) e do aludido quadro ao Quadro de Comando e Serviços Auxiliares (QCSA). Os cabos serão instalados em eletrodutos (4 da norma NRB-5410).

Para a alimentação dos motores de 125CV serão utilizados 2(dois) cabos de cobre isolados, EPR, 750V, 50mm<sup>2</sup> por fase, instalados em eletrodutos (4 da norma NBR-5410) com uma capacidade de 198A.

Os condutores por fase serão em todos os casos instalados em eletrodutos individuais de ferro galvanizado com 4" de diâmetro.

## 9.8 - DIMENSIONAMENTO DO BANCO DE CAPACITORES

Para o dimensionamento em questão vamos estimar em 85% o Fator de Potência dos motores de 125CV. Para atender a legislação em vigor que estabelece 92% como valor mínimo, a correção para os referidos motores é a que se segue:

### 9.8.1 - Motor de 125cv

|                             |  |
|-----------------------------|--|
| Potência aparente           | $S = \frac{380\sqrt{3} \times 182,72}{1000} + 10 = 120,26[\text{KVA}]$ |
| Potência ativa              | $P = 120,26 \times 0,85 = 102,22 [\text{Kw}]$                          |
| Ângulo de potência          | $\theta = \cos^{-1} 0,85 = 31,79^\circ$                                |
| Potência reativa            | $Q = 120,26 \times \sin 31,79^\circ = 63,35[\text{KVar}]$              |
| Compensação                 | $C = 22,5[\text{KVar}]$  |
| Fator de potência corrigido | $FP = \cos[\arctg^{-1}(40,85/102,22)] = 0,93$                          |

## 9.9 - CÁLCULO DO ATERRAMENTO

O cálculo da resistência da malha será baseada no método de SCHWARZ publicado no IEEE80-1976 (Guide for Safety in Substation Grounding)

Fórmulas:

### 9.9.1 - Fórmula da Resistência da Malha de Terra (condutores)

$$R_c = \frac{\rho a}{\pi L} [ \ln(2L/a_1) + K_1(L/\sqrt{A}) - K_2 ]$$

### 9.9.2 - Fórmula da Resistência das Hastes do Aterramento

$$R_h = \frac{\rho_a}{2\pi n L_1} [L_n (4L_1/b) - 1 + (2K1L1/\sqrt{A}) \times (\sqrt{n} - 1)^2]$$

$$2\pi n L_1$$

### 9.9.3 - Fórmula da Resistência Mútua entre Malha e Haste

$$R_m = \frac{\rho_a}{\pi L} [L_n (2L/L_1) + K1(L/\sqrt{A}) - K2 + 1]$$

$$\pi L$$

### 9.9.4 - Fórmula da Resistência Total

$$R_t = \frac{R_c R_h - R_m^2}{R_c + R_h - 2R_m}$$

$$R_c + R_h - 2R_m$$

Onde

$\rho_a$  = resistividade aparente do solo em [OHM cm]

L = comprimento total dos condutores em [cm]

$a_1 = \sqrt{dz}$  para os condutores aterrados na profundidade z em [cm]

z = profundidade da malha em [cm]

d = diâmetro do condutor em [cm]

A = área coberta pelos condutores em [cm<sup>2</sup>]

$L_1$  = comprimento da haste em [cm]

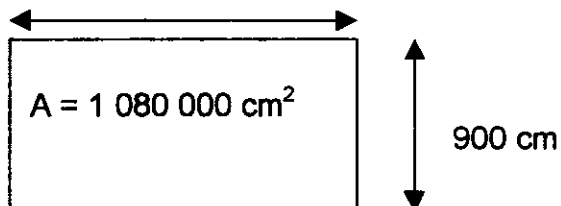
b = raio da haste em [cm]

n = número de haste na área A

**K1 e K2 = coeficientes em função da razão comprimento/largura da malha**

1200 cm

### Cálculo do Sistema de Aterramento



Área da malha

Dados:

$$\rho_a = 15.000[\text{OHM.cm}] \text{ (valor estimado)}$$

$$L = 16.500 [\text{cm}]$$

$$a_1 = \sqrt{0,757 \times 60} = 6,74[\text{cm}]$$

$$z = 60 [\text{cm}]$$

$$d = 0,757 [\text{cm}]$$

$$L_1 = 300 [\text{cm}]$$

$$b = 1,905 [\text{cm}]$$

$$n = 16$$

$$K1 = 1,4125 - 0,0425 (1200/900) = 1,36$$

$$K2 = 5,49 - 0,1443 (1200/900) = 5,30$$

### 9.9.5 - Cálculo da Resistência da Malha de Terra (condutores)

$$R_c = \frac{15\,000}{\pi \cdot 16\,500} \left[ \ln\left(\frac{2 \times 16\,500}{6,74}\right) + 1,36(16\,500/\sqrt{1\,080\,000}) - 5,30 \right] = 7,19 \text{ [OHM]}$$

### 9.9.6. Cálculo da Resistência das Hastes do Aterramento

$$R_h = \frac{15\,000}{2\pi \times 16 \times 300} [\ln(4300/1,905) - 1 + (2 \times 1,36 \times 300/\sqrt{1\,080\,000})(\sqrt{16} - 1)^2]$$

$$2\pi \times 16 \times 300$$

$$R_h = 6,92 \text{ [OHM]}$$

### 9.9.7 - Cálculo da Resistência Mútua entre Malha e Haste

$$R_m = \frac{15\,000}{\pi \times 16\,500} [\ln(2 \times 16\,500/300) + 1,36(16\,500/\sqrt{1\,080\,000}) - 5,30 + 1]$$

$$\pi \times 16\,500$$

$$R_m = 6,38 \text{ [OHM]}$$

### 9.9.8 - Cálculo da Resistência Total

$$R_t = \frac{7,19 \times 6,92 - 6,38^2}{7,19 + 6,92 - 2 \times 6,38} = 6,70 \text{ [OHM]}$$

$$7,19 + 6,92 - 2 \times 6,38$$

## 9.10. RELAÇÃO DE MATERIAIS E EQUIPAMENTOS DA SUBESTAÇÃO (500KVA)

**10 - ANEXOS**

000043<sup>1</sup>

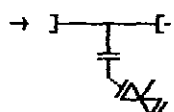
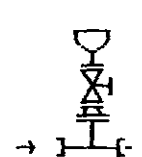
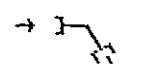
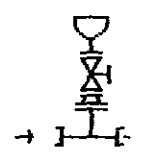
## **ANEXO A - DETALHAMENTO DAS CONEXÕES PONTO A PONTO**

## PONTO A PONTO

23/10/97

## PROJETO: PINDURETHMA

EB. 1 ADUTURA: FF'1

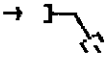
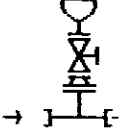
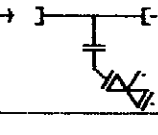
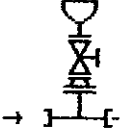
| PONTO | ESTALA | DESCRICAO   | ESQUEMA   |
|-------|--------|---|---|
| 0.1   | 5      | 1 te bbt teto 350 > 100 PN 10<br>1 c 450 ff fofc DN = 100 PN 10<br>1 rgfc DN = 100 PN 10<br>1 ept tufo DN = 100 PN 10 |    |
| 0.2   | 10     | 1 te bbt teto 350 > 100 PN 10<br>1 reducao ff teto 100 > 75 PN 10<br>1 rotv DN = 75 PN 10<br>1 vtt DN = 75 PN 10      |    |
| 0.3   | 15     | 1 c 450 bb se teto DN = 350   |  |
| 0.4   | 15     | 1 te bbt teto 350 > 100 PN 10<br>2 c 450 ff teto DN = 100 PN 10<br>1 rotv DN = 100 PN 10<br>1 ept tufo DN = 100 PN 10 |  |
| 0.5   | 24     | 1 te bbt teto 350 > 100 PN 10<br>1 reducao ff teto 100 > 50 PN 10<br>1 rotv DN = 50 PN 10<br>1 vtt DN = 50 PN 10      |  |

000045

## PONTO A PONTO

23/10/97

PROJETO: PINDORETAMA

| PONTO | ESTALA | DESCRIÇÃO  | ADUTORAS: FF1 | ESQUEMA   |
|-------|--------|--|---------------|---|
| Q.6   | 49     | 1 c 110 bb je teto DN = 150<br>1 c 110 bb je teto DN = 150   |               |    |
| Q.7   | 19     | 1 c 110 bb je teto DN = 150  |               |    |
| Q.8   | 20     | 1 te bbf teto 150 x 100 PN 10<br>1 reducao ff teto 100 x 75 PN 10<br>1 rgtv DN = 75 PN 10<br>1 vff DN = 75 PN 10 |               |   |
| Q.11  | 44     | 1 te bbf teto 150 x 100 PN 10<br>1 c 110 ff teto 100 x 75 PN 10<br>1 rgtv DN = 75 PN 10<br>1 vff DN = 75 PN 10   |               |  |
| Q.10  | 54     | 1 te bbf teto 150 x 100 PN 10<br>1 reducao ff teto 100 x 75 PN 10<br>1 rgtv DN = 75 PN 10<br>1 vff DN = 75 PN 10 |               |  |

000046

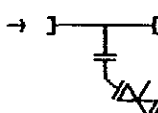
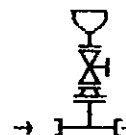
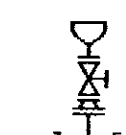
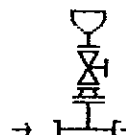
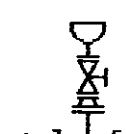
## PONTO A PONTO

22/10/97

PROJETO: FNDURE1AMA

EB: 1

ADTORA: FF1

| PONTO | ESTACA | DESCRICAO   | ESQUEMA   |
|-------|--------|---|---|
| 0.11  | 36     | 1 te bbf tofo 350 x 100 PN 10<br>1 c 450 tf tofo PN = 100 PN 10<br>1 rafc DN = 100 PN 10<br>1 vtf tofo DN = 100 PN 10 |    |
| 0.12  | 32     | 1 te bbf tofo 350 x 100 PN 10<br>1 reducao tf tofo 100 x 75 PN 10<br>1 rafc DN = 75 PN 10<br>1 vtf DN = 75 PN 10      |    |
| 0.13  | 7      | 1 te bbf tofo 350 x 100 PN 10<br>1 reducao tf tofo 100 x 75 PN 10<br>1 rafc DN = 75 PN 10<br>1 vtf DN = 75 PN 10      |   |
| 0.14  | -      | 1 te bbf tofo 350 x 100 PN 10<br>1 reducao tf tofo 100 x 75 PN 10<br>1 rafc DN = 75 PN 10<br>1 vtf DN = 75 PN 10      |  |
| 0.15  | 109    | 1 te bbf tofo 350 x 100 PN 10<br>1 reducao tf tofo 100 x 75 PN 10<br>1 rafc DN = 75 PN 10<br>1 vtf DN = 75 PN 10      |  |

000047

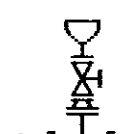
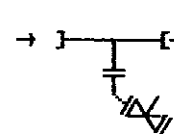
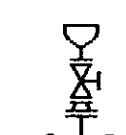
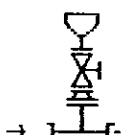
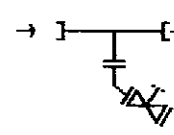
## PONTO A PONTO

23/10/97

PROJETO: PINDORE TAMA

EBI: 1

ADUTORAS: EPI

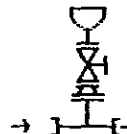
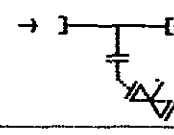
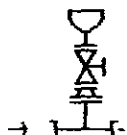
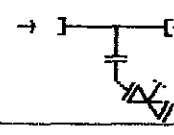
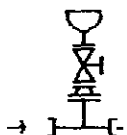
| PONTO | ESTACA | DESCRICAO  | ESQUEMA   |
|-------|--------|--|---|
| 0.15  | 125    | 1 te bbt foto 250 x 100 PN 10<br>1 reducao rr foto 100 x 75 PN 10<br>1 rotv DN = 75 PN 10<br>1 vrt dn = 75 PN 10 |    |
| 0.17  | 140    | 1 te bbt foto 250 x 100 PN 10<br>1 c 450 rr foto DN = 100 PN 10<br>1 rotv DN = 100 PN 10<br>1 vrt dn = 100 PN 10 |    |
| 0.18  | 149    | 1 te bbt foto 250 x 100 PN 10<br>1 reducao rr foto 100 x 75 PN 10<br>1 rotv DN = 75 PN 10<br>1 vrt dn = 75 PN 10 |   |
| 0.19  | 167    | 1 te bbt foto 250 x 100 PN 10<br>1 reducao rr foto 100 x 75 PN 10<br>1 rotv DN = 75 PN 10<br>1 vrt dn = 75 PN 10 |  |
| 0.20  | 189    | 1 te bbt foto 250 x 100 PN 10<br>1 c 450 rr foto dn = 100 PN 10<br>1 rotv DN = 100 PN 10<br>1 vrt dn = 100 PN 10 |  |

006048

## PONTO A PONTO

23/10/97

## PROJETO: FINLURE FAMA

| ERF 1 |        | PROJETO: FP1  |   |
|-------|--------|---|---|
| FUNDO | ESTALA | DESCRIÇÃO   | ESQUEMA   |
| 0.11  | 204    | 1 te bbf foto 250 x 100 FN 10<br>1 reducao tf foto 100 - 5 FN 10<br>1 rqtv DN = 75 FN 10<br>1 vtf DN = 75 FN 10       |    |
| 0.12  | 212    | 1 te bbf foto 250 x 100 FN 10<br>1 c 45º tf foto DN = 100 FN 10<br>1 rqtv DN = 100 FN 10<br>1 ept foto DN = 100 FN 10 |    |
| 0.13  | 215    | 1 te bbf foto 250 x 100 FN 10<br>1 reducao tf foto 100 - 75 FN 10<br>1 rqtv DN = 75 FN 10<br>1 tr DN = 75 FN 10       |   |
| 0.14  | 280    | 1 te bbf foto 250 x 100 FN 10<br>1 c 45º tf foto DN = 100 FN 10<br>1 rqtv DN = 100 FN 10<br>1 ept foto DN = 100 FN 10 |  |
| 0.15  | 285    | 1 te bbf foto 250 x 100 FN 10<br>1 reducao tf foto 100 - 5 FN 10<br>1 rqtv DN = 75 FN 10<br>1 vtf DN = 75 FN 10       |  |

000049

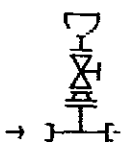
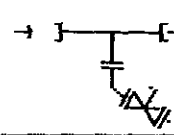
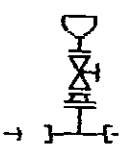
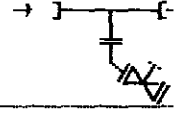
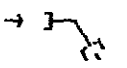
## PONTO A PONTO

23/10/97

## PROJETO: PINDORETAMA

LEI: 1

ADUTORA: FPI

| PONTO | ESTACAO | DESCRITIVAS   | ESQUEMA   |
|-------|---------|---|---|
| 0.26  | 294     | 1 te bbf teto 150 x 100 PN 10<br>1 reducao tt teto 100 x 75 PN 10<br>1 rcpv DN = 75 PN 10<br>1 vtr DN = 75 PN 10      |    |
| 0.27  | 328     | 1 te bbf teto 350 x 100 PN 10<br>1 c 450 tt teto DN = 100 PN 10<br>1 rcpv DN = 100 PN 10<br>1 ept teto DN = 100 PN 10 |    |
| 0.28  | 332     | 1 te bbf teto 150 x 100 PN 10<br>1 reducao tt teto 100 x 75 PN 10<br>1 rcpv DN = 75 PN 10<br>1 vtr DN = 75 PN 10      |   |
| 0.29  | 351     | 1 te bbf teto 150 x 100 PN 10<br>1 c 450 tt teto DN = 100 PN 10<br>1 rcpv DN = 100 PN 10<br>1 ept teto DN = 100 PN 10 |  |
| 0.30  | 355     | 1 c llo lb re teto DN = 350   |  |

000050

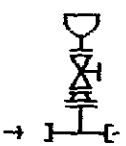
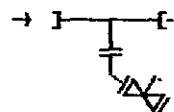
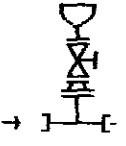
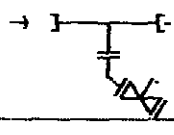
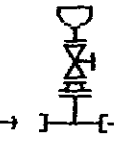
## PONTO A PONTO

22/10/97

PROJETO: PINDORETAMA

EB: 1

ADUTORA: FP1

| PONTO | ESTALA | DESCRIÇÃO   | ESQUEMA   |
|-------|--------|---|---|
| 0.11  | -81+0  | 1 te bbt fofa 350 x 100 FN 10<br>1 reducao ff fofa 100 x 75 FN 10<br>1 rotv DN = 75 FN 10<br>1 vvt DN = 75 FN 10      |    |
| 0.12  | -65    | 1 te bbt fofa 350 x 100 FN 10<br>1 c 45º ff fofa DN = 100 FN 10<br>1 rotv DN = 100 FN 10<br>1 ept fofa DN = 100 FN 10 |    |
| 0.13  | -71    | 1 te bbt fofa 350 x 100 FN 10<br>1 reducao ff fofa 100 x 75 FN 10<br>1 rotv DN = 75 FN 10<br>1 vvt DN = 75 FN 10      |   |
| 0.14  | - 0    | 1 te bbt 1000 350 x 100 FN 10<br>1 c 45º ff fofa DN = 100 FN 10<br>1 rotv DN = 100 FN 10<br>1 ept fofa DN = 100 FN 10 |  |
| 0.15  | -81    | 1 te bbt fofa 350 x 100 FN 10<br>1 reducao ff fofa 100 x 75 FN 10<br>1 rotv DN = 75 FN 10<br>1 vvt DN = 75 FN 10      |  |

000051

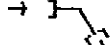
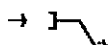
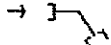
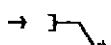
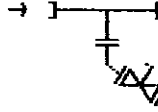
## PONTO A PONTO

23/10/97

PROJETO: PINDORETAMA

EB: 1

ADUTORAS: FP1

| PONTO | ESTACA | DESCRIÇÃO   | ESQUEMA   |
|-------|--------|---|---|
| 0.16  | 387    | 1 c 110 bb te todo DN = 250   |    |
| 0.17  | 393    | 1 c 120 bb te todo DN = 250   |    |
| 0.18  | 404+12 | 1 c 900 bb te todo DN = 250   |  |
| 0.19  | 405+17 | 1 c 700 bb te todo DN = 250   |  |
| 0.40  | 407    | 1 te bbf todo 250 x 100 PN 10<br>1 c 450 tt todo DN = 100 PN 10<br>1 rute DN = 100 PN 10<br>1 ept todo DN = 100 PN 10 |  |

000052

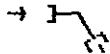
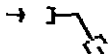
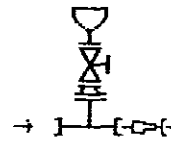
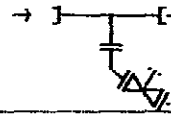
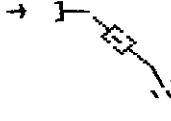
## PONTO A PONTO

23/10/97

PROJETO: PINDORETAMA

EB: 1

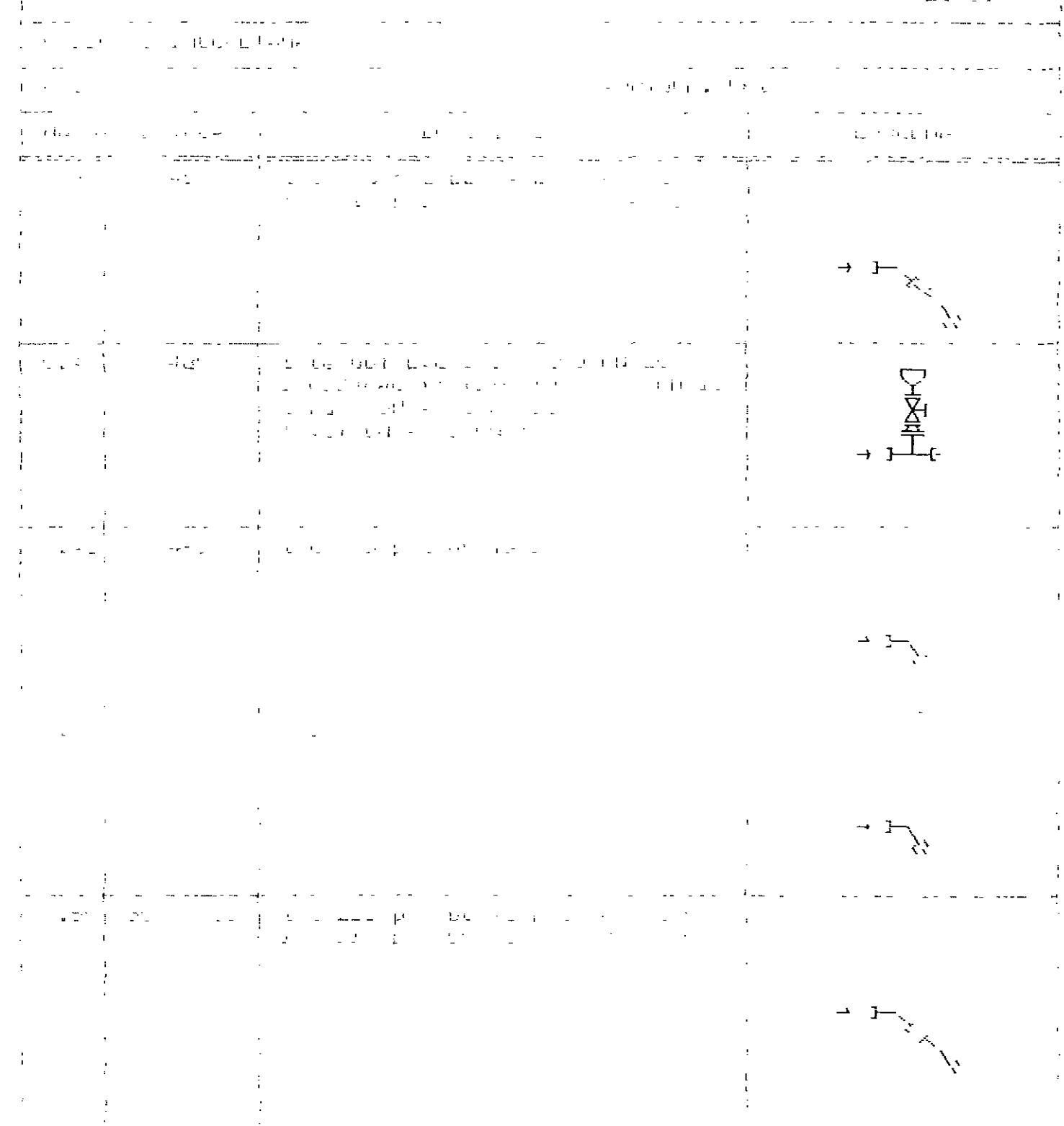
ADUTORA: EPI

| PONTO | ESTACA    | DESCRICAO   | ESQUEMA   |
|-------|-----------|---|---|
| 0.41  | 4.1 + 8.5 | 1 c 900 bb je fofa DN = 350   |    |
| 0.42  | 4.2 + 7.5 | 1 c 900 bb je fofa DN = 350   |    |
| 0.43  | 4.3       | 1 te bbf fofa 350 FN 10<br>1 reducao tf fofa 100 : 5 FN 10<br>1 rigv DN = 75 FN 10<br>1 vlti DN = 75 FN 10<br>1 reducao pp 100 : 50 FN 10 |   |
| 0.44  | 4.4       | 1 te ubt pvc 100 x 100 FN 10<br>1 c 450 pvc tf DN = 100 FN 10<br>1 rigv DN = 100 FN 10<br>1 espf pvc DN = 100 FN 10                       |  |
| 0.45  | 4.5       | 1 c 900 pvc bb je pvc DN = 300<br>1 c 110 pvc bb je pvc DN = 300  |  |

000053

FUNICULAR SYSTEM

2000-12-27



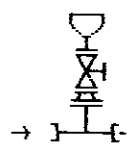
000054

ENTRO A FUNDO

卷之三

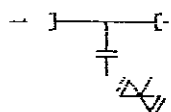
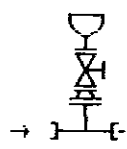
1

1. The *WCT* is a very useful technique for  
2. identifying and quantifying the  
3. components of a system.



•

1.  $\frac{1}{2} \times \frac{1}{2} = \frac{1}{4}$   
 2.  $\frac{1}{2} \times \frac{1}{2} = \frac{1}{4}$   
 3.  $\frac{1}{2} \times \frac{1}{2} = \frac{1}{4}$   
 4.  $\frac{1}{2} \times \frac{1}{2} = \frac{1}{4}$   
 5.  $\frac{1}{2} \times \frac{1}{2} = \frac{1}{4}$   
 6.  $\frac{1}{2} \times \frac{1}{2} = \frac{1}{4}$   
 7.  $\frac{1}{2} \times \frac{1}{2} = \frac{1}{4}$   
 8.  $\frac{1}{2} \times \frac{1}{2} = \frac{1}{4}$   
 9.  $\frac{1}{2} \times \frac{1}{2} = \frac{1}{4}$   
 10.  $\frac{1}{2} \times \frac{1}{2} = \frac{1}{4}$



600055

## **ANEXO B - ESTUDO DE TRANSIENTES HIDRÁULICOS**

## 1. MEMÓRIA DESCRIPTIVA

Este trabalho comprehende o estudo dos Transientes Hidráulicos para a adutora de Pindoretama, no município de Pindoretama no Estado do Ceará

O presente estudo foi feito para a adutora, visando determinar as pressões máximas e mínimas que poderão ocorrer nas tubulações em caso de desligamento brusco das bombas (por falta de energia elétrica, por exemplo) e para se verificar a necessidade ou não de se utilizarem dispositivos de proteção de tais linhas, se essas pressões extrapolarem os valores admitidos pelos tubos

Em uma instalação de recalque, quando há um desligamento das bombas de maneira brusca, são desenvolvidas ondas de choque que percorrem a tubulação alterando transitoriamente o comportamento das pressões internas e das vazões de adução. Neste caso, a primeira onda que se forma é de depressão e pode provocar a separação da coluna líquida, dependendo das condições instantâneas de pressão e do perfil topográfico da linha. Com a vinda, em seguida, da onda de sobrepressão, há possibilidade de junção da coluna e, em consequência, as pressões podem chegar a atingir valores insuportáveis para o material das tubulações

As equações básicas que descrevem este fenômeno são obtidas a partir dos princípios da quantidade de movimento e da continuidade e têm a seguinte forma geral

$$gA \frac{\partial H}{\partial x} + \frac{\partial Q}{\partial t} + \frac{f}{2DA} Q \cdot |Q| = 0$$

$$\frac{\partial H}{\partial t} + \frac{a^2}{gA} \frac{\partial Q}{\partial x} = 0$$

onde  $Q$  = vazão no instante  $t$ ,

$H$  = pressão no instante  $t$ ,

$x$  = distância entre a origem da linha e a seção estudada,

$D$  = diâmetro da adutora;

$f$  = coeficiente de atrito de escoamento,

$A$  = área da seção transversal do tubo,

$a$  = celeridade da onda de pressão

Existem vários processos numéricos de resolução dessas equações, porém o mais utilizado é o das características, que será aqui empregado. De acordo com este método, a linha estudada é dividida num certo número de trechos, de modo a se ter o histórico do transiente nos pontos de maior interesse, ou próximos a eles, como é permitido. A partir daí, o cálculo todo se baseia na determinação dos valores de pressão e de vazão que satisfaçam o sistema de equações acima, para um ponto considerado e num determinado instante, desde que sejam conhecidas essas grandezas num instante anterior.

O sistema de duas equações diferenciais parciais acima, de 1<sup>a</sup> ordem, do tipo hiperbólico, pode ser transformado em outro sistema de quatro equações diferenciais ordinárias que pode ser trabalhado sob a forma de diferenças finitas. Isto permite calcular os valores de  $H_P$  e  $Q_P$  no ponto considerado, por meio das expressões:

$$\begin{aligned} H_P &= C_p - B \cdot Q_p \\ H_p &= C_M + B \cdot Q_p \end{aligned}$$

onde  $C_P$  e  $C_M$  são constantes para cada seção considerada pois dependem dos valores de  $H$  e de  $Q$  para o instante anteriormente considerado, e  $B$  é uma função da celeridade da onda e da área da seção transversal do tubo.

O intervalo de tempo de trânsito da onda de choque é constante para todo o histórico do transiente, inclusive o tempo de percurso dessa onda entre as seções consecutivas, definido como

$$\Delta t = \frac{\Delta L}{a}$$

onde  $\Delta L$  é a extensão de cada trecho e "a" a celeridade da onda. Esta equação corresponde ao critério de estabilidade de Courant para equações deste tipo.

Esse procedimento permite verificar se há possibilidade de separação da coluna líquida na tubulação, dependendo do valor de  $H_P$  em relação à cota do terreno na seção considerada. Se, nesse ponto a pressão calculada for inferior, em valor absoluto, à pressão de vapor da água, haverá separação de coluna e, portanto, necessidade de se utilizarem dispositivos de proteção.

Dentre estes, os mais usuais são:

- chaminés de equilíbrio;
- tanques de amortecimento unidirecionais - TAU;

- volante de inércia nas bombas,
- tanques hidropneumáticos

Dependendo do caso específico, pode-se empregar um ou mais desses dispositivos, tendo em vista as condições econômicas, construtivas e funcionais de cada situação.

O estudo completo é feito em duas etapas complementares, com a primeira delas compreendendo o diagnóstico da linha, caso ocorra uma paralisação brusca, sem nenhum dispositivo de proteção. Em seguida, caso seja constatada a necessidade desses dispositivos, é feita a verificação de seu funcionamento, de modo que as pressões resultantes não provoquem danos ao sistema.

No caso presente, como está apresentado na Memória de Cálculo, a adutora analisadas estão sujeitas à separação de coluna e, por isto, serão utilizados TAU para combater esses efeitos. Os volantes de inércia não foram utilizados, uma vez que os necessários para a proteção desses sistemas seriam maiores do que as instalações físicas e as potências dos motores poderiam suportar. Quanto aos tanques hidropneumáticos, sua operação é delicada e exige equipamentos adicionais como compressores, manômetros, sistemas automáticos de controle de nível, etc.

Em cada caso, a quantidade e o posicionamento dos dispositivos foram definidos, em função das linhas de pressão e dos perfis dos terrenos, de modo que as adutoras não fiquem sujeitas a pressões próximas da pressão de vapor da água (aqui admitida igual a -9,50 m.c.a., relativa). Para efeito de uniformização dos projetos estruturais desses tanques, procurou-se adotar um modelo único para todos eles, com variações apenas de suas dimensões e das tubulações de interligação à linha principal. No caso aqui estudado, houve necessidade de um único TAU para cada linha, cujas características principais são as seguintes:

| SISTEMA      | Distância à EB(m) | Diâmetro Interno (m) | Diâmetro Entrada (mm) | Diâmetro Saída (mm) | Extensão Ligação (m) | Cota do Terreno (m) | Cota do NA máximo | Altura Total (m) |
|--------------|-------------------|----------------------|-----------------------|---------------------|----------------------|---------------------|-------------------|------------------|
| Pindoreta ma | 2 000             | 3,00                 | 50                    | 350                 | 8,00                 | 33,47               | 60,47             | 28,00            |

A adutora de Pindoretama, que se estende até Ypioca, está prevista uma sangria a 2 460 metros dessa localidade. No local dessa sangria o diâmetro da linha sofre uma redução de 350 para 300, porque a vazão passa de 154,27 para 116,55 l/s. Neste caso, o sistema foi analisado para a situação mais desfavorável, que é aquela em que toda a vazão de recalque está sendo transportada de um extremo a outro da linha, sem qualquer derivação. Nestas circunstâncias, a vazão de recalque passa a ser de 142,00 l/s, a que corresponde uma altura manométrica de 104,50 m c.a.

Por medida de segurança, cada TAU será dotado de duas tubulações de saída. Esta observação vale para todos os trechos

## 2. MEMÓRIA DE CÁLCULO

A seguir estão apresentadas as planilhas de cálculo para cada sistema analisado Primeiramente é feito o diagnóstico das linhas, cujos resultados mostram que todas elas ficarão sujeitas a pressões negativas em grande parte de suas extensões, o que pode provocar separação de coluna líquida no seu interior Deste modo foram projetados os dispositivos de proteção (TAU), cujo funcionamento foi simulado em seguida, quando observou-se que os mesmos protegerão as linhas de maneira conveniente

Em cada listagem é mostrado o funcionamento do sistema em regime normal de operação ( $T=0,0$  s), o funcionamento das bombas após a parada brusca, as envoltórias das pressões máximas e mínimas em cada seção considerada e um esquema com o perfil do terreno e essas envoltórias, para melhor visualização. O critério utilizado para a divisão em seções, em cada sistema estudado foi o de representar a linha com a maior fidelidade possível, a partir dos pontos considerados mais críticos para o funcionamento em regime transitório

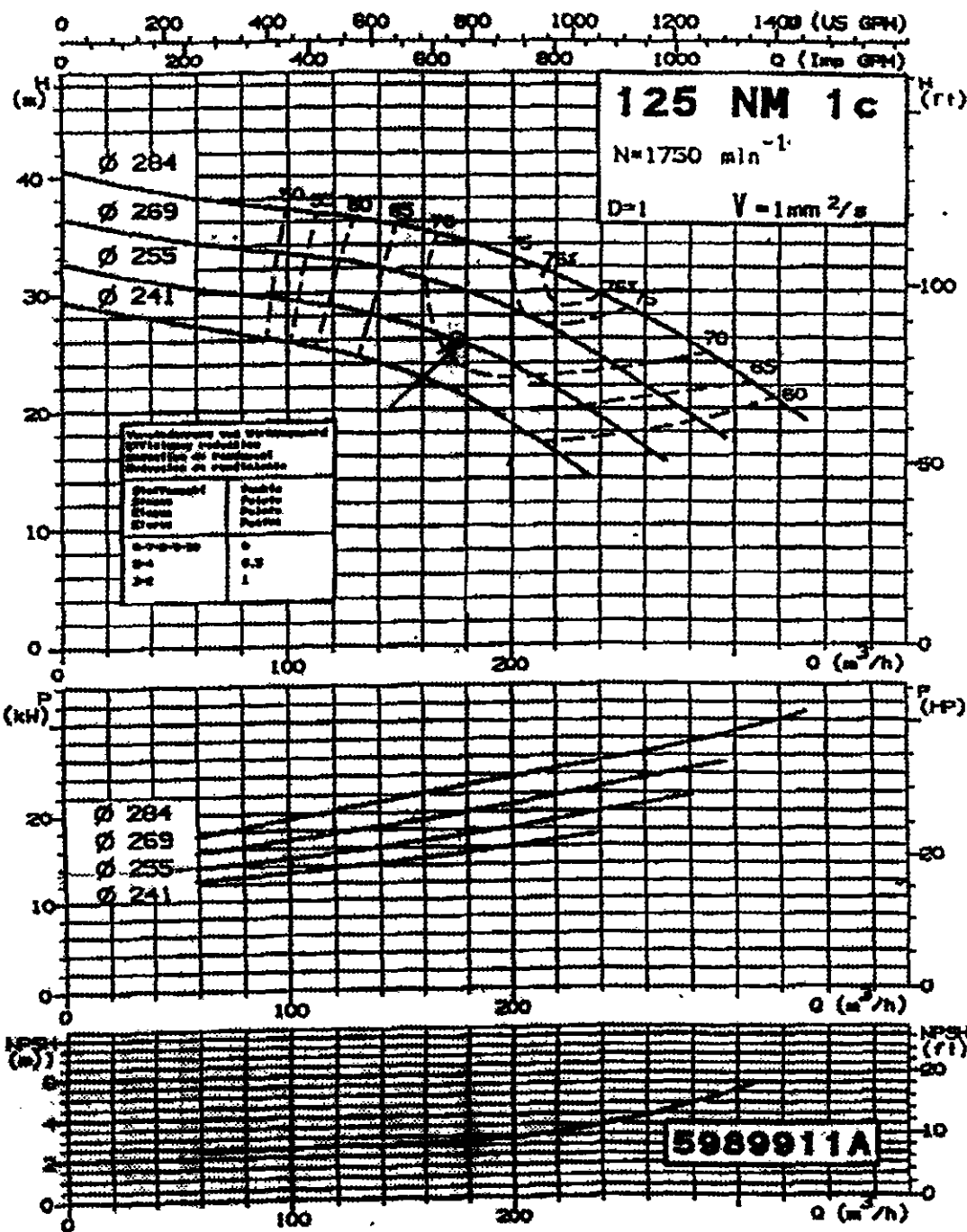
As listagens apresentadas mostram as características físicas de cada sistema (diâmetros, extensões, celeridades vazões, etc ), pelo que as mesmas não serão aqui repetidas No caso das bombas, foram consideradas as características informadas pelos fabricantes. Suas curvas de performance estão apresentadas junto com as listagens respectivas



Ingersoll-Dresser Pumps

NM

(4 ESTAGOS)



17-03-1995

Modelo: A TONOLI

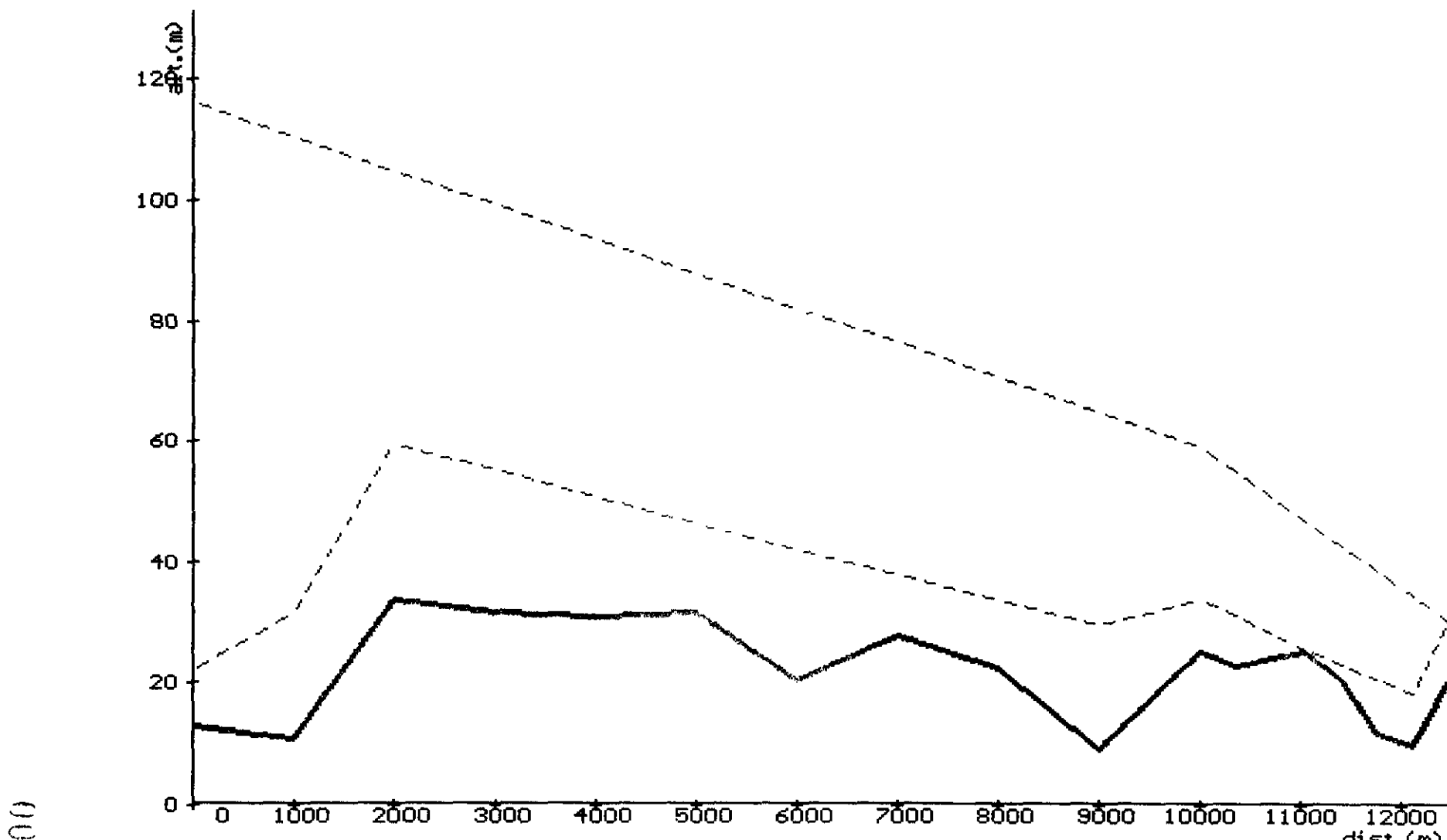
11/37

Le:

A

000062

ANALISE DE TRANSIENTES HIDRAULICOS  
Envoltorias das Pressões com Proteção



## INVOLTORIA DE PRESSOES DO TRECHO 3

| SECAO | DIST.   | ALT.PRES.MIN. | PRES.MIN. | ALT.PRES.MAX | PRES.MAX |
|-------|---------|---------------|-----------|--------------|----------|
|       | (m)     | (m)           | (m)       | (m)          | (m)      |
| 1     | 10000.0 | 33.56         | 8.79      | 58.87        | 34.10    |
| 2     | 10351.4 | 30.98         | 8.48      | 54.77        | 32.27    |
| 3     | 10702.9 | 28.09         | 4.09      | 50.67        | 26.67    |
| 4     | 11054.3 | 25.39         | .39       | 46.57        | 21.57    |
| 5     | 11405.7 | 22.87         | 2.87      | 42.47        | 22.47    |
| 6     | 11757.1 | 20.42         | 8.92      | 38.38        | 26.88    |
| 7     | 12108.6 | 17.96         | 8.46      | 34.28        | 24.78    |
| 8     | 12460.0 | 30.18         | 10.18     | 30.18        | 10.18    |

- Program terminated.

ORTRAN>

000064

0  
0  
0  
0

ENVOLTORIA DE PRESSOES DO TRECHO 2

| SECAO | DIST.   | ALT.PRES.MIN. | PRES.MIN. | ALT.PRES.MAX | PRES.MAX |
|-------|---------|---------------|-----------|--------------|----------|
|       | (m)     | (m)           | (m)       | (m)          | (m)      |
| 1     | 2000.0  | 59.14         | 25.67     | 104.56       | 71.09    |
| 2     | 3000.0  | 54.83         | 23.54     | 98.85        | 67.56    |
| 3     | 4000.0  | 50.44         | 19.57     | 93.14        | 62.27    |
| 4     | 5000.0  | 45.97         | 14.45     | 87.43        | 55.91    |
| 5     | 6000.0  | 41.57         | 21.30     | 81.71        | 61.44    |
| 6     | 7000.0  | 37.44         | 9.76      | 76.00        | 48.32    |
| 7     | 8000.0  | 33.42         | 11.16     | 70.29        | 48.03    |
| 8     | 9000.0  | 29.37         | 20.63     | 64.58        | 55.84    |
| 9     | 10000.0 | 33.56         | 8.79      | 58.87        | 34.10    |

000065

## ENVOLTORIA DE PRESSOES DO TRECHO 1

| SECAO | DIST.  | ALT.PRES.MIN. | PRES.MIN. | ALT.PRES.MAX | PRES.MAX |
|-------|--------|---------------|-----------|--------------|----------|
|       | (m)    | (m)           | (m)       | (m)          | (m)      |
| 1     | .0     | 21.90         | 9.32      | 115.99       | 103.41   |
| 2     | 1000.0 | 31.28         | 20.56     | 110.28       | 99.56    |
| 3     | 2000.0 | 59.14         | 25.67     | 104.56       | 71.09    |

000066

FUNCIONAMENTO DA BOMBA APÓS O DESLIGAMENTO

| TEMPO<br>(s) | ROTACAO<br>(rpm) | VAZAO<br>(m <sup>3</sup> /s) | ALT. DE PRESSAO<br>(m) | PRESSAO<br>(m) |
|--------------|------------------|------------------------------|------------------------|----------------|
| .0           | 1750.0           | .142                         | 115.99                 | 103.41         |
| 1.0          | 1300.4           | .100                         | 70.83                  | 58.25          |
| 2.0          | 1022.1           | .079                         | 48.49                  | 35.91          |
| 3.0          | 832.5            | .070                         | 35.71                  | 23.13          |
| 4.0          | 695.7            | .063                         | 28.12                  | 15.54          |
| 5.0          | 591.0            | .062                         | 22.99                  | 10.41          |
| 5.9          | 523.9            | .028                         | 22.92                  | 10.34          |
| 6.9          | 473.9            | .008                         | 21.90                  | 9.32           |
| 7.9          | 433.2            | .000                         | 25.77                  | 13.19          |
| 8.9          | 433.2            | .000                         | 32.22                  | 19.64          |
| 9.9          | 433.2            | .000                         | 66.13                  | 53.55          |
| 10.9         | 433.2            | .000                         | 87.84                  | 75.26          |
| 11.9         | 433.2            | .000                         | 92.30                  | 79.72          |
| 12.9         | 433.2            | .000                         | 85.95                  | 73.37          |
| 13.9         | 433.2            | .000                         | 52.99                  | 40.41          |
| 14.9         | 433.2            | .000                         | 31.89                  | 19.31          |
| 15.8         | 433.2            | .000                         | 27.51                  | 14.93          |
| 16.8         | 433.2            | .000                         | 33.67                  | 21.09          |
| 17.8         | 433.2            | .000                         | 65.68                  | 53.10          |
| 18.8         | 433.2            | .000                         | 86.11                  | 73.53          |
| 19.8         | 433.2            | .000                         | 90.39                  | 77.81          |
| 20.8         | 433.2            | .000                         | 84.61                  | 72.03          |
| 21.8         | 433.2            | .000                         | 53.49                  | 40.91          |
| 22.8         | 433.2            | .000                         | 33.61                  | 21.03          |
| 23.8         | 433.2            | .000                         | 29.40                  | 16.82          |
| 24.8         | 433.2            | .000                         | 35.00                  | 22.42          |
| 25.8         | 433.2            | .000                         | 65.25                  | 52.67          |
| 26.7         | 433.2            | .000                         | 84.51                  | 71.93          |
| 27.7         | 433.2            | .000                         | 88.61                  | 76.03          |
| 28.7         | 433.2            | .000                         | 83.08                  | 70.50          |
| 29.7         | 433.2            | .000                         | 53.64                  | 41.06          |

003067

ESCOAMENTO NO REGIME PERMANENTE - T = 0.0

TRECHO 2

| SECAO | DISTANCIA<br>(m) | VAZAO<br>(m <sup>3</sup> /s) | ALT. DE PRESSAO<br>(m) | PRESSAO<br>(m) |
|-------|------------------|------------------------------|------------------------|----------------|
| 1     | 10000.0          | .142                         | 58.87                  | 34.10          |
| 2     | 10351.4          | .142                         | 54.77                  | 32.27          |
| 3     | 10702.9          | .142                         | 50.67                  | 26.67          |
| 4     | 11054.3          | .142                         | 46.57                  | 21.57          |
| 5     | 11405.7          | .142                         | 42.47                  | 22.47          |
| 6     | 11757.1          | .142                         | 38.38                  | 26.88          |
| 7     | 12108.6          | .142                         | 34.28                  | 24.78          |
| 8     | 12460.0          | .142                         | 30.18                  | 10.18          |

000068

**FUNCIONAMENTO DA BOMBA APOS O DESLIGAMENTO**

| <b>TEMPO<br/>(s)</b> | <b>ROTACAO<br/>(rpm)</b> | <b>VAZAO<br/>(m<sup>3</sup>/s)</b> | <b>ALT. DE PRESSAO<br/>(m)</b> | <b>PRESSAO<br/>(m)</b> |
|----------------------|--------------------------|------------------------------------|--------------------------------|------------------------|
| .0                   | 1750.0                   | .142                               | 115.99                         | 103.41                 |
| 2.0                  | 1027.8                   | .074                               | 49.73                          | 37.15                  |
| 4.0                  | 706.1                    | .057                               | 29.46                          | 16.88                  |
| 5.9                  | 522.9                    | .052                               | 20.93                          | 8.35                   |
| 7.9                  | 401.9                    | .052                               | 16.55                          | 3.97                   |
| 9.9                  | 315.9                    | .049                               | 14.46                          | 1.88                   |
| 11.9                 | 255.4                    | .045                               | 13.49                          | .91                    |
| 13.9                 | 209.9                    | .041                               | 12.97                          | .39                    |
| 15.8                 | 176.1                    | .036                               | 12.73                          | .15                    |
| 17.8                 | 149.8                    | .033                               | 12.59                          | .01                    |
| 19.8                 | 129.3                    | .030                               | 12.53                          | -.05                   |
| 21.8                 | 113.0                    | .027                               | 12.51                          | -.07                   |
| 23.8                 | 100.3                    | .024                               | 12.54                          | -.04                   |
| 25.8                 | 90.3                     | .021                               | 12.55                          | -.03                   |
| 27.7                 | 82.3                     | .018                               | 12.58                          | .00                    |
| 29.7                 | 75.9                     | .016                               | 12.60                          | .02                    |

003069

## ESTATISTICA DE PRESSOES DO TRECHO 1

| SECAO | DIST.   | ALT.PRES.MIN. | PRES.MIN. | ALT.PRES.MAX | PRES.MAX |
|-------|---------|---------------|-----------|--------------|----------|
|       | (m)     | (m)           | (m)       | (m)          | (m)      |
| 1     | .0      | 12.49         | - .09     | 115.99       | 103.41   |
| 2     | 909.1   | 13.58         | 4.08      | 110.80       | 101.30   |
| 3     | 1818.2  | 19.00         | - 9.50    | 105.60       | 77.10    |
| 4     | 2727.3  | 23.50         | - 9.50    | 100.41       | 67.41    |
| 5     | 3636.4  | 15.82         | - 7.38    | 95.22        | 72.02    |
| 6     | 4545.5  | 20.50         | - 9.50    | 90.02        | 60.02    |
| 7     | 5454.5  | 21.00         | - 9.50    | 84.83        | 54.33    |
| 8     | 6363.6  | 14.72         | - 7.28    | 79.64        | 57.64    |
| 9     | 7272.7  | 15.50         | - 9.50    | 74.44        | 49.44    |
| 10    | 8181.8  | 14.00         | - 9.50    | 69.25        | 45.75    |
| 11    | 9090.9  | 12.52         | 3.52      | 64.06        | 55.06    |
| 12    | 10000.0 | 15.27         | - 9.50    | 58.87        | 34.10    |

000070

## INVOLTORIA DE PRESSOES DO TRECHO 2

| SECAO | DIST.   | ALT.PRES.MIN. | PRES.MIN. | ALT.PRES.MAX | PRES.MAX |
|-------|---------|---------------|-----------|--------------|----------|
|       | (m)     | (m)           | (m)       | (m)          | (m)      |
| 1     | 10000.0 | 15.27         | -9.50     | 58.87        | 34.10    |
| 2     | 10351.4 | 13.10         | -9.40     | 54.77        | 32.27    |
| 3     | 10702.9 | 14.50         | -9.50     | 50.67        | 26.67    |
| 4     | 11054.3 | 15.50         | -9.50     | 46.57        | 21.57    |
| 5     | 11405.7 | 10.50         | -9.50     | 42.47        | 22.47    |
| 6     | 11757.1 | 8.95          | -2.55     | 38.38        | 26.88    |
| 7     | 12108.6 | 9.43          | -.07      | 34.28        | 24.78    |
| 8     | 12460.0 | 30.18         | 10.18     | 30.18        | 10.18    |

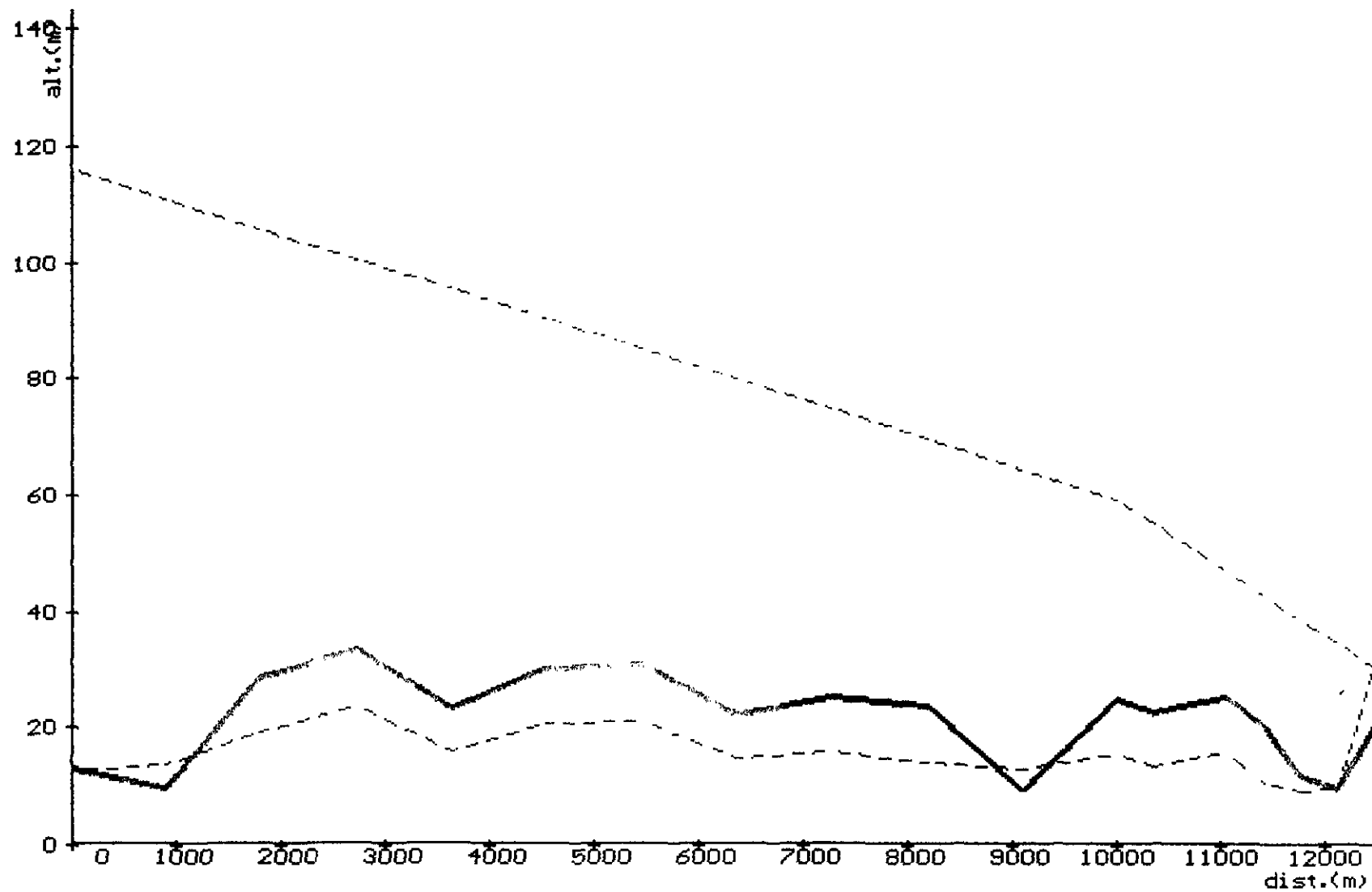
- Program terminated.

IRTRAN>

000071

160 -

ANALISE DE TRANSIENTES HIDRAULICOS  
Envoltorias das Pressoes sem Protecao



000072

**ADUTORA DE PINDORETAMA**  
**Linha com proteção**

000073

=====

CALCULO DE TRANSIENTES EM CONDUTOS FORCADOS

=====

NUMERO DE TRECHOS = 3  
No. DE TRECHOS DA LINHA PRINCIPAL = 3  
NUMERO DE SECOES DO ULTIMO TRECHO = 7  
NUMERO DE BOMBAS EM PARALELO = 3  
VAZAO DE PROJETO (m<sup>3</sup>/s) = .142  
VAZAO DA LINHA SECUNDARIA = .000  
ROTACAO NOMINAL DO MOTOR (r.p.m.) = 1750.0  
TEMPO MAXIMO DE CALCULO (s) = 30.0  
VAZAO POR BOMBA (m<sup>3</sup>/s) = .047  
ALTURA MANOMETRICA (m) = 104.50  
MOMENTO DE INERCIA (kg.m<sup>2</sup>) = 2.08  
COTA DO N.A. DA SUCCAO = 12.58  
PERDAS LOCALIZADAS (m.c.a.) = .50

DADOS DAS CURVAS DAS BOMBAS:

| Q(m <sup>3</sup> /s) | Hm(m) | P(CV) |
|----------------------|-------|-------|
| .000                 | 130.8 | 29.96 |
| .028                 | 117.6 | 32.90 |
| .051                 | 100.0 | 38.31 |

DADOS DOS TRECHOS

| TRECHO | NOS<br>MONT | NOS<br>JUS | EXTENSAO<br>(m) | DIAMETRO<br>(m) | CELERIDADE<br>(m/s) | VAZAO<br>(l/s) |
|--------|-------------|------------|-----------------|-----------------|---------------------|----------------|
| 1      | 1           | 2          | 2000.0          | .35             | 1009.6              | 142.00         |
| 2      | 2           | 3          | 8000.0          | .35             | 1009.6              | 142.00         |
| 3      | 3           | 4          | 2460.0          | .30             | 354.8               | 142.00         |

000074

DADOS DOS TAU's

| TAU | DIAMETRO<br>(m) | DIAMETRO<br>LIGACAO (m) | COTA N.A.<br>MAXIMO | COTA<br>TERRENO |
|-----|-----------------|-------------------------|---------------------|-----------------|
| 2   | 3.00            | .35                     | 60.47               | 33.47           |

000075

ESCOAMENTO NO REGIME PERMANENTE - T = 0.0

TRECHO 1

| SECAO | DISTANCIA<br>(m) | VAZAO<br>(m <sup>3</sup> /s) | ALT. DE PRESSAO<br>(m) | PRESSAO<br>(m) |
|-------|------------------|------------------------------|------------------------|----------------|
| 1     | .0               | .142                         | 115.99                 | 103.41         |
| 2     | 1000.0           | .142                         | 110.28                 | 99.56          |
| 3     | 2000.0           | .142                         | 104.56                 | 71.09          |

000070

## ESCOAMENTO NO REGIME PERMANENTE - T = 0.0

TRECHO 2

| SECAO | DISTANCIA<br>(m) | VAZAO<br>(m <sup>3</sup> /s) | ALT. DE PRESSAO<br>(m) | PRESSAO<br>(m) |
|-------|------------------|------------------------------|------------------------|----------------|
| 1     | 2000.0           | .142                         | 104.56                 | 71.09          |
| 2     | 3000.0           | .142                         | 98.85                  | 67.56          |
| 3     | 4000.0           | .142                         | 93.14                  | 62.27          |
| 4     | 5000.0           | .142                         | 87.43                  | 55.91          |
| 5     | 6000.0           | .142                         | 81.71                  | 61.44          |
| 6     | 7000.0           | .142                         | 76.00                  | 48.32          |
| 7     | 8000.0           | .142                         | 70.29                  | 48.03          |
| 8     | 9000.0           | .142                         | 64.58                  | 55.84          |
| 9     | 10000.0          | .142                         | 58.87                  | 34.10          |

000077

## ESCOAMENTO NO REGIME PERMANENTE - T = 0.0

TRECHO 3

| SECAO | DISTANCIA<br>(m) | VAZAO<br>(m <sup>3</sup> /s) | ALT. DE PRESSAO<br>(m) | PRESSAO<br>(m) |
|-------|------------------|------------------------------|------------------------|----------------|
| 1     | 10000.0          | .142                         | 58.87                  | 34.10          |
| 2     | 10351.4          | .142                         | 54.77                  | 32.27          |
| 3     | 10702.9          | .142                         | 50.67                  | 26.67          |
| 4     | 11054.3          | .142                         | 46.57                  | 21.57          |
| 5     | 11405.7          | .142                         | 42.47                  | 22.47          |
| 6     | 11757.1          | .142                         | 38.38                  | 26.88          |
| 7     | 12108.6          | .142                         | 34.28                  | 24.78          |
| 8     | 12460.0          | .142                         | 30.18                  | 10.18          |

000078

**ADUTORA DE PINDORETAMA**  
**Linha sem proteção**

003079

=====

CALCULO DE TRANSIENTES EM CONDUTOS FORCADOS

=====

NUMERO DE TRECHOS = 2  
No. DE TRECHOS DA LINHA PRINCIPAL = 2  
NUMERO DE SECOES DO ULTIMO TRECHO = 7  
NUMERO DE BOMBAS EM PARALELO = 3  
VAZAO DE PROJETO (m<sup>3</sup>/s) = .142  
VAZAO DA LINHA SECUNDARIA = .000  
ROTACAO NOMINAL DO MOTOR (r.p.m.) = 1750.0  
TEMPO MAXIMO DE CALCULO (s) = 30.0  
VAZAO POR BOMBA (m<sup>3</sup>/s) = .047  
ALTURA MANOMETRICA (m) = 104.50  
MOMENTO DE INERCIA (kg.m<sup>2</sup>) = 2.08  
COTA DO N.A. DA SUCCAO = 12.58  
PERDAS LOCALIZADAS (m.c.a.) = .50

DADOS DAS CURVAS DAS BOMBAS:

| Q(m <sup>3</sup> /s) | HM(m) | P(CV) |
|----------------------|-------|-------|
| .000                 | 130.8 | 29.96 |
| .028                 | 117.6 | 32.90 |
| .051                 | 100.0 | 38.31 |

DADOS DOS TRECHOS

| TRECHO | NOS<br>MONT | NOS<br>JUS | EXTENSAO<br>(m) | DIAMETRO<br>(m) | CELERIDADE<br>(m/s) | VAZAO<br>(l/s) |
|--------|-------------|------------|-----------------|-----------------|---------------------|----------------|
| 1      | 1           | 2          | 10000.0         | .35             | 917.8               | 142.00         |
| 2      | 2           | 3          | 2460.0          | .30             | 354.8               | 142.00         |

000080

ESCOAMENTO NO REGIME PERMANENTE - T = 0.0

TRECHO 1

| SECAO | DISTANCIA<br>(m) | VAZAO<br>(m <sup>3</sup> /s) | ALT. DE PRESSAO<br>(m) | PRESSAO<br>(m) |
|-------|------------------|------------------------------|------------------------|----------------|
| 1     | .0               | .142                         | 115.99                 | 103.41         |
| 2     | 909.1            | .142                         | 110.80                 | 101.30         |
| 3     | 1818.2           | .142                         | 105.60                 | 77.10          |
| 4     | 2727.3           | .142                         | 100.41                 | 67.41          |
| 5     | 3636.4           | .142                         | 95.22                  | 72.02          |
| 6     | 4545.5           | .142                         | 90.02                  | 60.02          |
| 7     | 5454.5           | .142                         | 84.83                  | 54.33          |
| 8     | 6363.6           | .142                         | 79.64                  | 57.64          |
| 9     | 7272.7           | .142                         | 74.44                  | 49.44          |
| 10    | 8181.8           | .142                         | 69.25                  | 45.75          |
| 11    | 9090.9           | .142                         | 64.06                  | 55.06          |
| 12    | 10000.0          | .142                         | 58.87                  | 34.10          |

000081